

Table 1. Density of molten slags at about 1500°C.  
(mother slag: CaO 43, SiO<sub>2</sub> 43, Al<sub>2</sub>O<sub>3</sub> 14)

Oxide	addition(mol %)	density(g/cm <sup>3</sup> )
TiO <sub>2</sub>	2.58	2.96
	4.55	3.01
	7.90	3.03
P <sub>2</sub> O <sub>5</sub>	0.74	2.78
	1.47	2.80
	2.60	2.85
Cr <sub>2</sub> O <sub>3</sub>	0.68	2.66
	1.38	2.68
	2.45	2.74

は、粘性は顕著に増大する。この効果を明白にするために、各酸化物の添加量と1500°Cにおける粘性係数を図示したのがFig. 3である。同一モル数の添加ではV<sub>2</sub>O<sub>5</sub>がもつとも粘性を低下させており、ついでTiO<sub>2</sub>, P<sub>2</sub>O<sub>5</sub>の順であり、Cr<sub>2</sub>O<sub>3</sub>は逆に粘性を高くる。

測定結果は前述のようにArrhenius型の式によく適合しているので、測定結果を最小2乗法で処理することにより活性化エネルギーE<sub>η</sub>および頻度係数A<sub>η</sub>を決定することができる。酸化物の添加量とE<sub>η</sub>およびA<sub>η</sub>の関係を示せばFig. 4のようである。活性化エネルギーは各酸化物の添加量の増加とともに増加しており、頻度係数は逆に減少している。V<sub>2</sub>O<sub>5</sub>, TiO<sub>2</sub>およびP<sub>2</sub>O<sub>5</sub>添加の場合には添加量に対してE<sub>η</sub>およびA<sub>η</sub>は一連の傾向をもつて変化しているが、Cr<sub>2</sub>O<sub>3</sub>添加の場合にはCr<sub>2</sub>O<sub>3</sub>=1.5mol%付近で異常な変化を示しておるCr<sub>2</sub>O<sub>3</sub>含有溶融滓の液体構造の複雑さを予想させる。

本実験において用いた粘度測定装置が天秤式であるために、粘度の測定と同時に溶融滓の密度の測定も可能である。すなわち、アルキメデスの原理に基き、溶融滓中の白金球の受ける浮力を測定すれば球の体積既知であるから密度の算出が可能であり、それを試みた。しかし、球の容積が小さく(1500°Cで約0.286cm<sup>3</sup>)、また温度が低くて粘度が高くなつた場合には天秤のresponseが悪化するというような誤差因が多いために、温度変化を求めるまでにはいたらなかつたが、一応1500°C近辺で得られた溶融滓の密度を表示すればTable 1のようである。

#### 4. 結 言

CaO(43)-SiO<sub>2</sub>(43)-Al<sub>2</sub>O<sub>3</sub>(14)溶融滓の粘性におよぼすV<sub>2</sub>O<sub>5</sub>, Cr<sub>2</sub>O<sub>3</sub>, P<sub>2</sub>O<sub>5</sub>およびTiO<sub>2</sub>の効果を白金球引上げ法により測定し以下の結果を得た。

1) 温度の高い所では測定結果はArrhenius型の式によく適合するが、温度の低い所では適合しなくなり、この傾向はCr<sub>2</sub>O<sub>3</sub>添加の場合に顕著である。

2) V<sub>2</sub>O<sub>5</sub>, TiO<sub>2</sub>およびP<sub>2</sub>O<sub>5</sub>の添加によって粘性は低下しその効果はこの順に小さくなる。

3) Cr<sub>2</sub>O<sub>3</sub>の添加によつては粘性は増大し、その効果は顕著である。

4) 粘性の活性化エネルギーは各酸化物の添加量とともに増加し、その効果はTiO<sub>2</sub><V<sub>2</sub>O<sub>5</sub><P<sub>2</sub>O<sub>5</sub>の順に大となるがCr<sub>2</sub>O<sub>3</sub>は1.5mol%付近で効果が急変する。頻度係数について

については、頻度係数は各酸化物の添加によって減少し、その効果はTiO<sub>2</sub>, V<sub>2</sub>O<sub>5</sub>, P<sub>2</sub>O<sub>5</sub>の順に減少し、Cr<sub>2</sub>O<sub>3</sub>は1.5mol%付近で急変する。

5) アルキメデスの原理に基づいて測定した溶融滓の密度は1500°C付近では約2.7~3.0g/cm<sup>3</sup>である。

#### 文 献

- 1) 加藤, 斎輪: 鉄と鋼, 51(1965)10, p. 169
- 2) 加藤, 斎輪: 鉄と鋼, 51(1965)10, p. 166
- 3) 斎藤, 佐伯: 鉄と鋼, 51(1965)10, p. 171

### (127) CaO(43)-SiO<sub>2</sub>(43)-Al<sub>2</sub>O<sub>3</sub>(14)溶融滓の粘性におよぼすNaF, CaF<sub>2</sub>, MgF<sub>2</sub>およびAlF<sub>3</sub>の影響

(溶融滓精錬に関する研究—VII)

名古屋工業技術試験所

○加藤 誠・工博 斎輪 晋

Effect of NaF, CaF<sub>2</sub>, MgF<sub>2</sub> or AlF<sub>3</sub> on the Viscosity of Molten CaO(43)-SiO<sub>2</sub>(43)-Al<sub>2</sub>O<sub>3</sub>(14) Slag.

(Research on the molten slag refining—VII)

Makoto KATŌ and Dr. Susumu MINOWA.

#### 1. 緒 言

溶融滓の流動性を良好にする目的で鉱滓にフッ化物を添加することは実操業においてしばしば行なわれることであり、またelectro-slag remelting processにおいてはCaF<sub>2</sub>基のスラグが用いられており、フッ化物を含有する溶融滓の性状を知ることは単に学問的な興味にとどまらず、工業的にも意義あることである。

そこで筆者らは、溶融滓の物性を知るべく行なつてゐる実験<sup>1)~3)</sup>の一環として、CaO(43)-SiO<sub>2</sub>(43)-Al<sub>2</sub>O<sub>3</sub>(14)溶融滓の粘性におよぼす各種フッ化物添加の効果を白金球引上げ法により測定したので、その結果を発表する。

#### 2. 実 験

##### 2.1 原試料鉱滓および添加用フッ化物の調整

原試料鉱滓としては前報<sup>3)</sup>と同じものを用いた。

添加用フッ化物は、各試薬一級のNaF, CaF<sub>2</sub>, MgF<sub>2</sub>およびAlF<sub>3</sub>を乾燥して原試料鉱滓に所要量配合して用いた。

##### 2.2 溶融滓の粘性係数および密度の測定

添加用フッ化物を所定量原試料鉱滓に配合して測定に供した。粘性係数および密度の測定操作および条件は前報<sup>2)3)</sup>と同一である。

#### 3. 結 果 と 考 察

各フッ化物を添加した場合の溶融滓の粘性係数の温度依存性をFig. 1に示す。測定結果はよくArrhenius型の式 $\eta = A_\eta \cdot \exp(E_\eta/RT)$ に適合しており活性化エネルギーE<sub>η</sub>および頻度係数A<sub>η</sub>を求めることができる。

そこで実測値を最小2乗法で処理することによりE<sub>η</sub>およびA<sub>η</sub>を決定し、これをフッ化物の添加量(mol%)との関係において図示すればFig. 2およびFig. 3となる。E<sub>η</sub>はフッ化物添加量の増加とともに低下してお

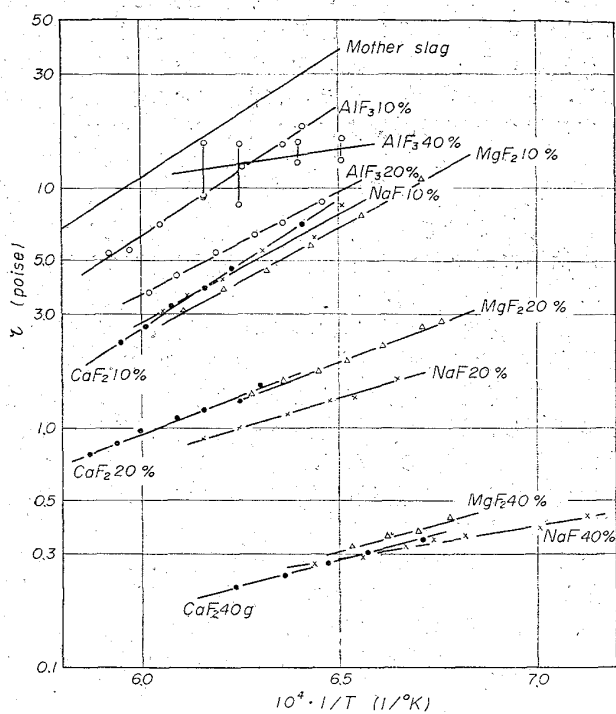


Fig. 1. Effect of fluorides addition on the viscosity of CaO(43)-SiO<sub>2</sub>(43)-Al<sub>2</sub>O<sub>3</sub>(14) slag.

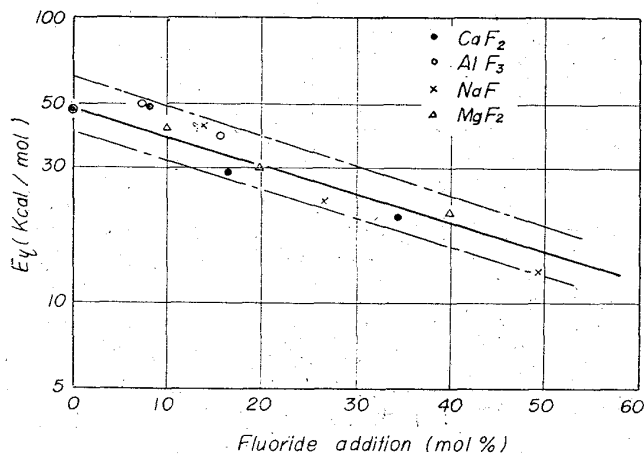


Fig. 2. Effect of fluorides addition on the activation energy for viscosity.

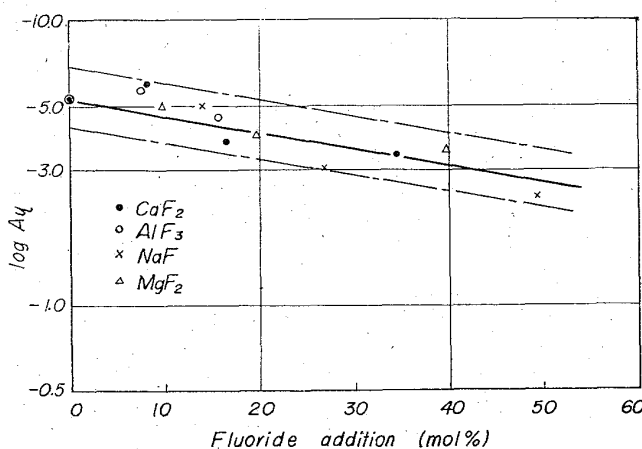


Fig. 3. Effect of fluorides addition on the  $A_\eta$ .

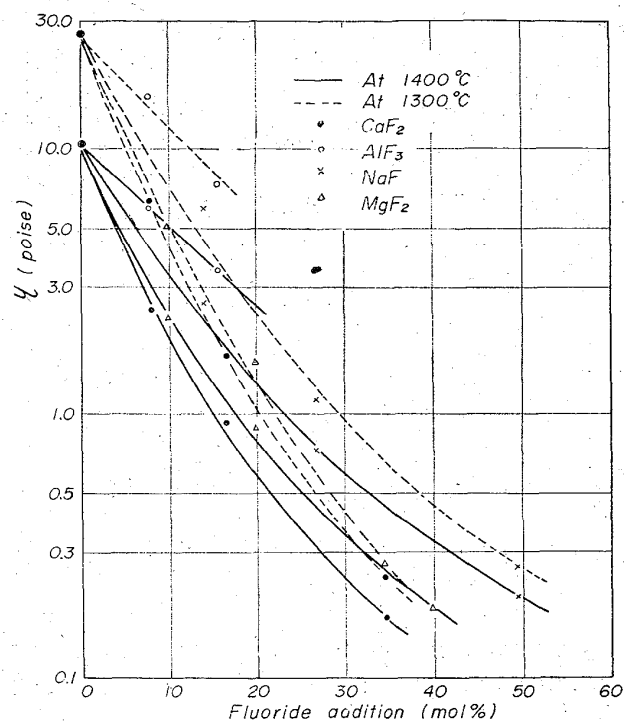


Fig. 4. Relation between fluorides addition and viscosity, at 1300 and 1400°C.

り、この傾向は各フッ化物に共通である。さらに  $\log E_a$  はフッ化物の種類にはほとんど無関係にフッ化物添加量に対して 1 本の直線で近似し得るような減少状態を示している。頻度係数の添加量との関係は Fig. 3 に示すように、添加量の増加とともに増加しており、しかもフッ化物の種類にはほとんど関係せずに  $\log A_\eta$  は添加量に対して 1 本の直線に近似できるような減少を示している。

フッ化物添加の効果は Fig. 1 からわかるように、溶融滓の粘性を顕著に低下させる。この効果を各フッ化物間で比較するために、1300 および 1400°C における溶融滓の粘性係数のフッ化物の添加量との関係を図示したのが Fig. 4 である。図によれば、同一モル数のフッ化物を添加した場合における粘性低下の効果は CaF<sub>2</sub> がもっとも大であり、ついで MgF<sub>2</sub>, NaF, AlF<sub>3</sub> の順に小さくなる。

フッ化物のこのような粘性低下の効果については一般にフッ素イオン (F<sup>-</sup>) の作用により溶融ケイ酸塩の flow unit が減少するためと考えられており、flow unit 減少の機構については多くの文献<sup>4,5)</sup>がある。これら文献の考察からすれば、前述の粘性低下効果の順序において、AlF<sub>3</sub> の位置が疑問となつてくる。すなわち、フッ素含量の多い AlF<sub>3</sub> は CaF<sub>2</sub> や MgF<sub>2</sub> より以上に粘性を低下させてよいのであるが、測定結果では AlF<sub>3</sub> が粘性低下の効果はもつとも小さい。この点に関しては、現在鉱滓中のフッ素の定量中で、結果が得られておらず配合比で考察しているので断定はできないが、測定時の観察結果を考えあわせると、AlF<sub>3</sub> 添加の場合には分解、蒸発に基づくフッ素の損失が大きいことに起因すると思われる。すなわち、フッ素は AlF<sub>3</sub> として計算した配合量ほど溶融滓中には存在せず、またフッ素が蒸散すれば残存する Al<sup>3+</sup> は network former として作用し、酸化雰囲

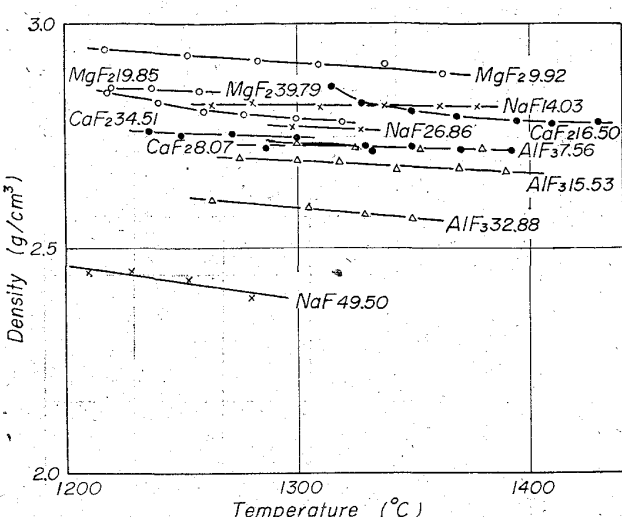


Fig. 5. Temperature dependence of density of molten slags.

気中の測定であるから  $\text{Al}_2\text{O}_3$  を添加したと同じ効果をあげる。したがつてこのような順位を結果したものと思われる。

Fig. 5 に密度の測定結果を示す。密度の測定法自体が粘度の高い溶渣中では天秤の response が悪い。零点移動、あるいは表面張力の影響というような誤差因が多くまた用いた白金球の体積も小さいので、測定精度のうえで問題があり厳密な検討は行ないがたいが、NaF や  $\text{AlF}_3$  添加の場合には、添加量が多いものほど密度は小さくなっている。また  $\text{CaF}_2$  や  $\text{MgF}_2$  添加の場合にははつきりした傾向を示していない。原試料鉱滓の密度の測定が行なわれていないので断定はできないが、HENDERSON らのや白石らの認めているように、 $\text{CaF}_2$  や  $\text{MgF}_2$  の添加においては密度の増大が起こるものとすれば、NaF や  $\text{AlF}_3$  の添加においても、添加量が少ない場合には密度が増大するものと思われる。このようにフッ化物の添加により密度が増大すれば、一般にいう流れやすさは動粘度  $\eta/\rho$  と関係するから、溶融渣の流动性を良好とするであろう。

鉱滓の色の観察では、どのフッ化物を加えた場合においても白色の渣となるのであるが、30 mol% を越えるような多量のフッ化物添加の場合には乳白色不透明な渣となる。これは  $\text{CaF}_2$  をガラスに添加して乳白ガラスを製造する場合と同様の機構によるものと思われる。

#### 4. 結 言

$\text{CaO}(43)-\text{SiO}_2(43)-\text{Al}_2\text{O}_3(14)$  原試料鉱滓に、NaF,  $\text{CaF}_2$ ,  $\text{MgF}_2$  や  $\text{AlF}_3$  の各フッ化物を添加して、溶融渣の粘性におよぼす効果を白金球引上げ法により測定し、以下の結果を得た。

- 1) 各フッ化物を添加した場合の溶融渣の粘性係数の温度依存性はよく Arrhenius plot を成立する。
- 2) 各フッ化物を添加することにより溶融渣の粘性は顕著に低下し、同一モル数を添加した場合の粘性低下の効果は  $\text{CaF}_2 > \text{MgF}_2 > \text{NaF}$  の順である。また添加量 30 mol% 以下では、添加量の増加に対して  $\log \eta$  はほぼ直線的に減少している。
- 3) 活性化エネルギーはフッ化物添加量の増加とともに低下し、同一モル数に対する  $E_\eta$  の減少割合はほとんどフッ化物の種類に関係しない。
- 4) 頻度係数はフッ化物添加量の増加とともに増大する。
- 5) 溶融渣の密度はほぼ  $2.5 \sim 3.0 \text{ g/cm}^3$  の範囲内にあり、NaF や  $\text{AlF}_3$  を添加した場合には添加量の増加とともに密度は減少する傾向にある。

#### 文 献

- 1) 加藤、蓑輪：鉄と鋼，51 (1965) 10, p. 164
- 2) 加藤、蓑輪：鉄と鋼，51 (1965) 10, p. 166
- 3) 加藤、蓑輪：鉄と鋼，51 (1965) 10, p. 169
- 4) P. M. BILLS: J. Iron & Steel Inst. (U.K.), 200 (1963), p. 133
- 5) J. O'M BOCKRIS, J. D. MACKENZIE & J. A. KITCHENER: Trans. Farad. Soc., 51 (1955), p. 1734
- 6) J. HENDERSON, R. G. HUDRÓN, R. G. WARD & G. DERGE: Trans. Met. Soc., Amer. Inst. Min., Met. & Pet. Eng., 221 (1961), p. 807
- 7) 白石、斎藤：日本金属学会誌，29 (1965) 6, p. 622